

05.2;11;12

©1995

ГИГАНТСКОЕ МАГНИТОСОПРОТИВЛЕНИЕ В ГРАНУЛИРОВАННЫХ ЭЛЕКТРООСАЖДЕННЫХ CuCo ПЛЕНКАХ

В.М.Федосюк, Х.И.Блайт, О.И.Касютич

Открытие первоначально в мультислойных покрытиях, а затем, несколько позже и в неоднородных сплавах гигантского магнитосопротивления (ГМС) привело к тому, что указанные объекты являются на сегодняшний день одними из наиболее интенсивно исследуемых как с фундаментальной, так и с практической точек зрения [1–2]. В литературе уже имеется несколько десятков публикаций об исследованиях, проведенных в системах CuFe, CuCo, AgCo и ряде других, полученных в основном различными методами напыления [4,5]. Мы, по нашему мнению, первые, кто использовал для этой цели относительно более простой и гораздо более дешевый метод электролитического осаждения [6–10] в стационарных условиях. В приведенных выше работах мы показали, что пленки электроосажденных неоднородных сплавов CuCo в отличие от подобных систем, полученных другими методами, уже сразу после осаждения являются фазово-сегрегированными, т. е. гранулированными, и не требуют для этого последующего отжига. Мы проанализировали характер распределения магнитных кластеров cobальта в немагнитной медной матрице и их взаимодействие [9,10]. Естественно, следующим шагом логично было исследование магниторезистивных свойств таких пленок, что и явилось целью настоящей работы.

Пленки были получены по методике, ранее описанной нами в работах [6,7]. Их отжиг проводился в вакууме не хуже $5 \cdot 10^{-6}$ Тор. Магнитные измерения проводились на квантовом СКВИД-магнитометре "MPMS-5" в области температур 2–300 К и в полях до 5.5 Тл. Магнитное поле поддерживалось с точностью $\pm 10^{-6}$ Тл, температура контролировалась соответственно $\pm 10^{-2}$ К. Для магниторезистивных измерений использовались пленки на подложках из алюминиевой фольги, которая перед измерением растворялась в 10-процентном NaOH, а также ситалла с химически нанесенными подслоем аморфного немагнитного NiP. Как показало дальнейшее сравнение, результаты, полученные для пленок на фосфиде никеля, практически такие же, как и для осажденных на алюминий, вследствие малой толщины подслоя NiP, оказывающего малое шунтирующее действие на результаты измерений. Магнитосопротивление измерялось по четырехзондовой схеме также в области тем-

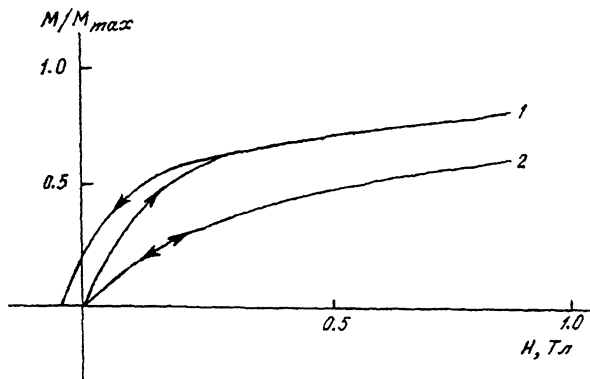


Рис. 1. Кривые перемагничивания гранулированных пленок Cu₈₀Co₂₀ при 2 К (1) и 300 К (2), нормированные к максимальному магнитному моменту M_{\max} — при $T = 2 \text{ К}$ и $H = 5.5 \text{ Тл}$.

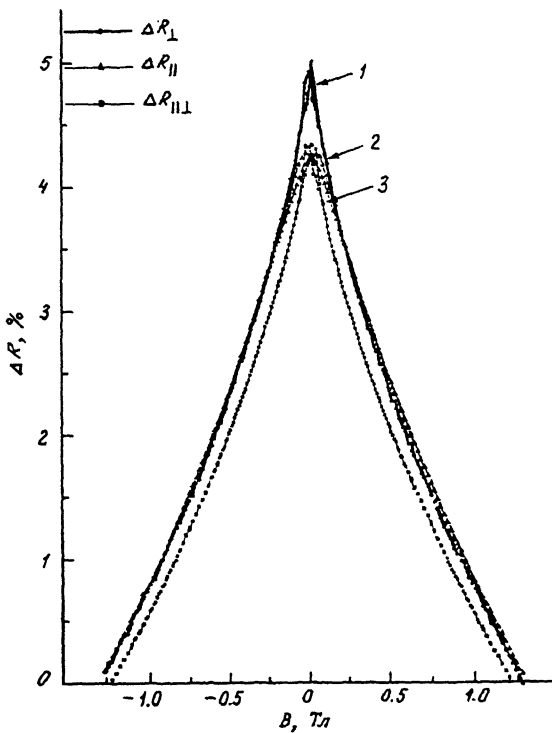


Рис. 2. Полевая зависимость магнитосопротивления Cu₈₀Co₂₀ пленок: 1 — поле H и ток I в плоскости пленки и перпендикулярны друг другу; 2 — $H \parallel I$ в плоскости и параллельны друг другу; 3 — I в плоскости, H перпендикулярно плоскости.

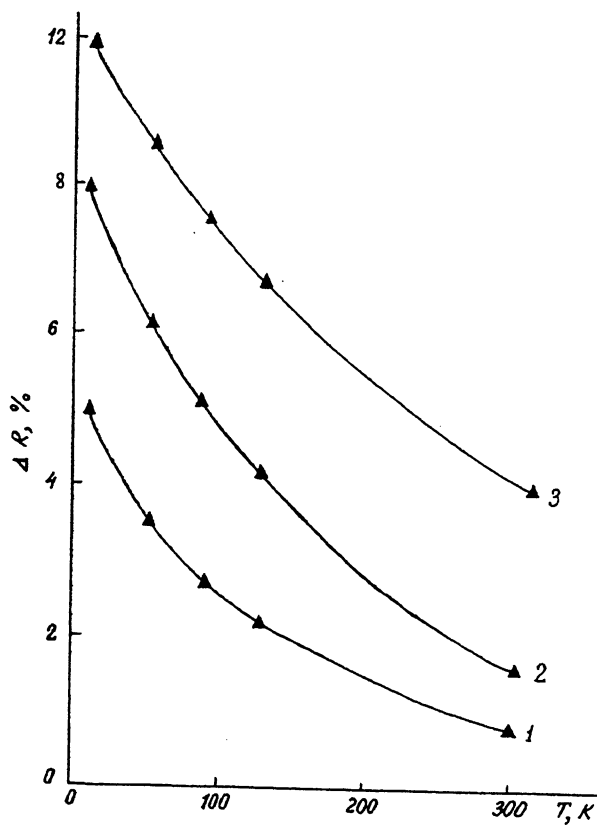


Рис. 3. Зависимость магнитосопротивления пленок $\text{Cu}_{80}\text{Co}_{20}$ в случае $I \perp H$: 1 — пленок свежеприготовленных; 2 — отожженных при 400°C в течение 30 мин; 3 — 600°C , 30 мин.

ператур 2–300 К и полях до 1.3 Тл. Использовались три конфигурации взаимного расположения тока I и поля H по отношению друг к другу и плоскости образца: $\Delta R_{||}$, если $I \parallel H$, ΔR_{\perp} для $I \perp H$ и $\Delta R_{\parallel\perp}$ в случае H , перпендикулярного плоскости образца и I в плоскости пленки. С целью достижения высокой точности измерения малых сигналов ($R_{\text{изм}} \sim 1 \Omega$, $\Delta R_{\text{изм}} \sim 0.001 \Omega$) и увеличения отношения сигнал/шум применялись режимы синхронного детектирования и компенсации. ΔR рассчитывалось как $[R(0) - R(H)]/R(H)$.

Как следует из проведенных магнитных измерений, пленки сплавов CuCo_x с $x = 6$ — 35% проявляют типичное су-

перпарамагнитное поведение (рис. 1), свойственное для гранулированных систем. Пленки не достигают магнитного насыщения даже в полях $H = 5.5$ Тл. Размеры вкраплений Со в матрице Cu составляют ~ 7 нм для $x = 6$; 8.7 нм для $x = 8$; 12 нм для $x = 11$; 12.8 нм для $x = 20$ и 15 для $x = 35$ ат.% [6], т. е. они сравнимы с длиной свободного пробега электронов в переходных металлах [2,11]. Указанный факт и является, очевидно, причиной того, что в пленках указанных сплавов спин-зависимая компонента тензора электропроводности является преобладающей, что и составляет основу механизма гигантского магнитосопротивления [1-3,11]. Как видно из рис. 2, магнитосопротивление пленок CuCo отрицательно и изотропно во всех трех направлениях, в отличие от обычного анизотропного магнитосопротивления (AMC), свойственного ферромагнитным покрытиям на основе переходных металлов и их сплавов. Таким образом, критерий ГМС удовлетворяется. Очевидно, что величина ГМС будет определяться размером однодоменных кобальтовых вкраплений в медной матрице, их распределением, а также степенью резкости перехода химического состава на границе раздела матрица/кластер и наоборот. По всей видимости, оптимальных соотношений вышеперечисленных примеров, приводящих к более высокому значению ГМС, может быть несколько. На них будет оказывать влияние как состав покрытия, так и отжиг (рис. 3). Такие исследования с целью достижения максимально возможного эффекта магнитного сопротивления в настоящее время в стадии систематизации и будут сообщены в следующей работе [12].

Список литературы

- [1] *Hylton I.L.* // *J. Appl. Phys.* 1994. V. 75. N 10. P. 7058-7060.
- [2] *Hickey B.J.* // *Phys. Rew. B*. 1995. V. 51. N 7. P. 667-669.
- [3] *Dicny B., Chamberod A., Cowache C.* // *J. Magn. Mayn. Mater.* 1994. V. 135.P. 191-199.
- [4] *Федосюк В.М., Касютич О.И.* // *Зарубежная радиоэлектроника*. 1994. № 11. P. 87-93.
- [5] *Федосюк В.М.* // *Зарубежная радиоэлектроника*. 1995. № 2. P. 93-97.
- [6] *Blythe H.J., Fedosyuk V.M.* // *Phys. Stat. Sol.* 1994. V. 146. P. K13-K17.
- [7] *Fedosyuk V.M., Blythe H.J.* // *J. Phys.: Condens. Mater.* 1995. N 7. P. 1-9.
- [8] *Федосюк В.М., Блайт Х.И., Касютич О.И.* // *Физика металлов и металловедение*. 1995 (в печати).
- [9] *Федосюк В.М., Блайт Х.И., Касютич О.И.* // *Физика металлов и металловедение*. 1995 (в печати).
- [10] *Fedosyuk V.M., Blythe H.J.* // *J. Phys. Mag.* 1995 (in press).
- [11] *Gehring G.A., Gregg J.F., Thompson S.M.* // *J. Magn. Mater.* 1995. V. 137. P. 140-144.
- [12] *Федосюк В.М., Блайт Х.И.* // *Поверхность*. 1995 (в печати).